

легания активной области от освещаемой плоскости [1]. Следует также обратить внимание на то, что спектральный контур Φ , «затянут» в длинноволновую область относительно нелегированного CdSiAs₂ [4], причем на его склоне четко выделяются два пика. Один из них при $\hbar\omega \approx 1.30$ эВ согласуется с энергетическим положением длинноволнового максимума в спектре фоточувствительности (рис. 2, кривые 1, 1') и может быть приписан возникновению донорных центров в слое *n*-типа. Второй максимум в спектре Φ , при $\hbar\omega \approx 1.1$ эВ также, вероятно, обусловлен изменениями в электронном спектре CdSiAs₂ при конверсии типа проводимости. При освещении структур со стороны слоя *n*-типа (рис. 3, кривая 2) коэффициент фотооплеохроизма во всей области фоточувствительности инвертирует знак на отрицательный, а вблизи энергии *A*-перехода стремится к предельному значению $|\Phi| \approx 100\%$. Это характерные признаки случая, когда активная область структуры удалается от освещаемой поверхности на расстояния, превышающие длину диффузационного смещения фотогенерированных носителей заряда [1]. В данном случае это означает, что длина диффузационного смещения фотодырок в тонком слое *n*-типа оказывается намного меньше глубины залегания активной области. С учетом того, что удельное сопротивление *n*-слоя многое меньше, чем *p*-области, можно считать, что активная область структуры практически полностью лежит в *p*-CdSiAs₂. Трансформация в спектре фотооплеохроизма, которая происходит при освещении торца *n*—*p*-CdSiAs₂ (рис. 3, кривая 3), когда поглощением в прилегающем к активной области структуры вещества можно пренебречь, подтверждает справедливость проведенной интерпретации.

В заключение приведем максимальные значения азимутальной поляризационной вольтовой $\Phi_U \approx 500$ В/Бт·град и токовой $\Phi_i \approx 0.2$ мА/Бт·град фоточувствительностей ($T=300$ К), которые достигаются в случае освещения *n*—*p*-CdSiAs₂ со стороны *p*-области. Эти оценки указывают на возможность применения полученных структур в поляриметрии ближнего ИК диапазона.

Литература

- [1] Рудь Ю. В. // Изв. вузов. Физика. 1986. № 8. С. 68—83.
- [2] Довлетмурадов Ч., Оvezov K., Прочухан В. Д. и др. // Письма в ЖТФ. 1975. Т. 1. Вып. 19. С. 878—881.
- [3] Довлетмурадов Ч., Оvezов K., Прочухан В. Д. и др. // ФТП. 1976. Т. 10. Вып. 9. С. 1659—1663.
- [4] Лебедев А. А., Оvezов K., Прочухан В. Д. и др. // Письма в ЖТФ. 1976. Т. 2. Вып. 9. С. 385—390.
- [5] Арсенид галлия. Получение, свойства и применение / Под ред. Ф. П. Кесаманлы, Д. Н. Наследова. М.: Наука, 1973. 471 с.
- [6] Зи С. Физика полупроводниковых приборов. М.: Мир, 1984. Т. 1. 455 с.
- [7] Панков Ж. Оптические процессы в полупроводниках. М.: Мир, 1973. 456 с.

Физико-технический институт
им. А. Ф. Иоффе АН СССР
Ленинград

Поступило в Редакцию
12 февраля 1988 г.

05; 06; 07; 11; 12

Журнал технической физики, 59, с. 6, 1988

ОПТИЧЕСКАЯ ЗАПИСЬ НА ПЛЕНКАХ АМОРФНОГО КРЕМНИЯ С СУБМИКРОННЫМ РАЗРЕШЕНИЕМ

В. П. Корольков, В. П. Чернухин

В настоящее время уделяется много внимания различным областям применения аморфных полупроводников, в том числе появился ряд публикаций об исследованиях возможности их применения в качестве материала для оптической записи [1—3]. В работах [1, 2] для записи на пленках аморфного негидрогенизированного кремния (*a*-Si) использовался тот факт, что под действием интенсивного лазерного излучения пленка переходит из аморфного состояния в поликристаллическое и значительно уменьшается коэффициент поглощения в диапазоне длин волн 400—800 нм. Однако совершенно не было изучено пространственное разрешение такого способа прямой оптической записи. В данной работе сообщается о получении при записи на пленках *a*-Si сфокусированным лазерным лучом пространственного разрешения,

значительно превышающего разрешение оптической системы, а также о возможности использования пленок $a\text{-Si}$ для создания полутоновых фотомакетов.

Пленки аморфного кремния толщиной 100—200 нм напылялись на стеклянную подложку методом ионного плазменного распыления кремниевой мишени в атмосфере аргона при давлении $7 \cdot 10^{-3}$ Па. Ускоряющее напряжение на мишени 4.2 кВ. Температура подложки составляла не более 60 °С. При этих условиях скорость напыления лежала в пределах 1.5—2 нм/с.

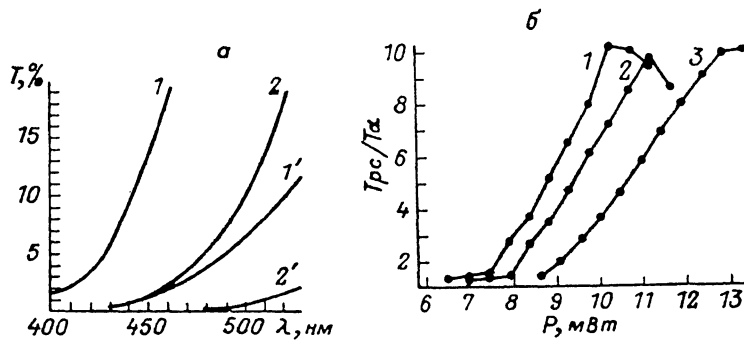


Рис. 1.

а — спектральная зависимость коэффициента пропускания T $pc\text{-Si}$ ($1, 2$) и $a\text{-Si}$ ($1', 2'$) при толщине пленки 100 ($1, 1'$) и 200 нм ($2, 2'$); *б* — зависимость отношения коэффициентов пропускания pc -(T_{pc}) и $a\text{-Si}$ (T_a) от мощности записывающего пучка (P) при различных скоростях сканирования: 1 — 40, 2 — 92, 3 — 140 см/с.

Для экспонирования пленок использовался прецизионный лазерный фотопостроитель, в котором подложка с пленкой приводится во вращение с постоянной скоростью (2 — 10 см $^{-1}$) и на заданном радиусе излучение аргонового лазера (длина волны 514 нм) фокусируется макрообъективом (40×0.65) в пятно диаметром 0.8 мкм [4].

Для измерения коэффициента пропускания использовался микроскоп-спектрометр MPV2 фирмы Leitz. На рис. 1, *а* представлены графики спектральной зависимости коэффициента

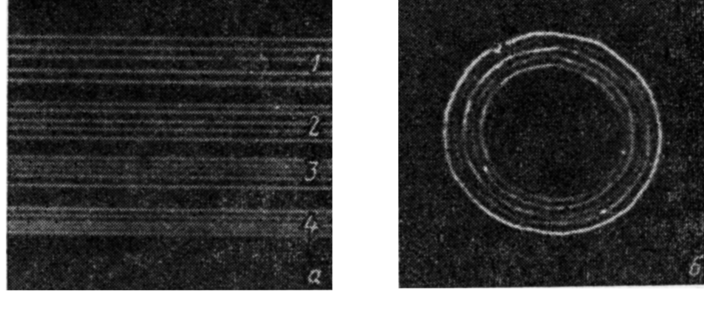


Рис. 2. Микрофотография теста на разрешение.

а — при скорости сканирования 100 см/с; период линий в группах: $1, 2$ — 0.79, 3 — 0.63, 4 — 0.48 мкм;

б — при средней скорости сканирования 100 мкм/с с периодом линий 0.79 мкм.

коэффициента пропускания аморфного и отожженного лазером поликристаллического ($pc\text{-Si}$) кремния при толщинах пленки 100 и 200 нм. Оптимальная с точки зрения соотношения контраста и коэффициента пропускания $pc\text{-Si}$ запись получена на пленках толщиной 100 нм, где контраст равен 10, а коэффициент пропускания $pc\text{-Si}$ — 9 %. Данные приведены для длины волны $\lambda=440$ нм, на которой большинство фоторезистов имеет высокую чувствительность. На рис. 1, *б* показаны зависимости отношения коэффициентов пропускания (контраста) для пленок $pc\text{-Si}$ (T_{pc}) и $a\text{-Si}$ (T_a) толщиной 100 нм ($\lambda=440$ нм) от мощности записывающего лазерного пучка при различных скоростях сканирования. Уменьшение контраста после максимума связано с началом плавления пленки иискажением поверхности после кристаллизации, вследствие чего резко возрастает светорассеяние. Предшествующее этому монотонное и плавное увеличение коэффициента пропускания с нарастанием мощности может быть объяснено последовательным проходом в зависимости от температуры через промежуточные амор-

фно-поликристаллические состояния структуры пленки, имеющие коэффициент поглощения меньший, чем первоначальная фаза [6]. Используя достаточно близкую к линейной зависимость контраста от мощности лазерного пучка, можно изготавливать на пленках аморфного кремния полутоновые фотобаблоны, необходимые для создания высокоэффективных дифракционных оптических элементов [4]. При переносе топологии полутонового фотобаблона в фотополиэтил для работы на линейном участке его характеристики достаточно иметь максимальный диапазон модуляции пропускания фотобаблонов от 1 : 4 до 1 : 10. Низкое пропускание просветленных лазерным лучом участков пленки кремния можно скомпенсировать увеличением экспозиции при копировании и выбором фотополиэтила с высокой чувствительностью.

Одним из важнейших параметров регистрирующей среды является разрешающая способность. Она определяется как диаметром лазерного записывающего пучка в фокусе, так и свойствами материала, в том числе нелинейностью используемого для записи процесса. Исследование пространственного разрешения прямой оптической записи на пленках аморфного кремния показало возможность получения линий шириной 0.25—0.4 мкм при диаметре записывающего пучка 0.8 мкм.

На рис. 2, а показана микрофотография группы линий, записанных при скорости сканирования 100 см/с с периодом от 0.48 до 1 мкм, а на рис. 2, б — при скорости сканирования 100 мкм/с (радиус 8 мкм) с периодом 0.79 мкм. Некоторая инервномерность периода обусловлена влиянием микросейсмов на фотопостроитель. Высокое разрешение в широком диапазоне скоростей и получение линий, в 2—3 раза меньших диаметра записывающего пучка, может быть объяснено следующими причинами. Во-первых, аморфный кремний имеет теплопроводность, на порядок меньшую, чем кристаллический кремний [6], что существенно уменьшает расплывание температурного распределения, индуцированного лазерным лучом в пленке. Во-вторых, из-за просветления пленки в процессе записи уменьшается поглощение лазерного излучения. В сочетании с гауссовским распределением интенсивности в фокальном пятне это приводит к остановке роста температуры и локализации структурных превращений в небольшой зоне в центре пятна. Такой механизм увеличения разрешения записи без применения высокоактивных микрообъективов или коротковолновых лазеров указывает на перспективность поиска материалов, просветляющихся под действием лазерного излучения.

Литература

- [1] Janai M., Moser F. // J. Appl. Phys. 1982. Vol. 53. N 3. P. 1385—1386.
- [2] Lee Ming Shih, Tseng Chau Jern, Huang Chien Rong, Huang Tzer Hsiang. // Jap. J. Appl. Phys. 1987. Pt 1. Vol. 26. N 2. P. 193—196.
- [3] Rao L. K., Harshavardhan K. S., Selvarajan A., Hegde M. S. // Appl. Phys. Lett. 1986. Vol. 49. N 13. P. 826—828.
- [4] Коронкевич В. П., Ленкова Г. А., Михальчук И. А. и др. // Автометрия. 1985. № 1. С. 4—25.
- [5] Baeri P., Barbarino A. E., Campisano S. V. // Laser and Electron Beam Interactions with Solids. New York, 1982. P. 227—232.
- [6] Webber H. C., Gullis A. G., Chew N. G. // Appl. Phys. Lett. 1983. Vol. 43. N 7. P. 669—671.

Институт автоматики и электрометрии
СО АН СССР
Новосибирск

Поступило в Редакцию
15 февраля 1988 г.

РАССЕЯНИЕ ОБЪЕМНЫХ МАГНИТОСТАТИЧЕСКИХ ВОЛН НА ДИНАМИЧЕСКОЙ МАГНИТНОЙ РЕШЕТКЕ

А. Н. Мясоедов, Ю. К. Фетисов

Распространение магнитостатических спиновых волн (МСВ) в пленках феррита с пространственно-временной периодичностью свойств сопровождается эффективным рассеянием, что может быть использовано для управления характеристиками волн в устройствах спин-волновой электроники. Экспериментально исследовано рассеяние МСВ без изменения ча-